



Estudo da Influência da Modificação da Razão TEOS/Zeólita nas Propriedades físico-químicas do Compósito Zeólita Beta/SBA-15.

Brenda S. Sousa.¹; Anna B. S. Girão¹; Antonia L. D. Silva¹; Daniela S. Oliveira¹; Anne G. D. Santos¹

¹Universidade do Estado do Rio Grande do Norte, Laboratório de Catálise, Ambiente e Materiais, Departamento de Química, 59610-090, Mossoró/RN¹.

Resumo/Abstract

RESUMO - Este estudo investiga como a variação da razão TEOS/Zeólita afeta as propriedades estruturais e texturais do compósito zeólita Beta/SBA-15. As caracterizações por DRX, MEV-EDS e fisisorção de N2 indicam que o aumento da razão TEOS/Zeólita favorece maior organização mesoporosa e morfologia mais homogênea das amostras. A análise morfológica revelou que compósitos obtidos com maior proporção de TEOS mantêm as características típicas da SBA-15, enquanto menores proporções resultam em aglomeração da zeólita. A análise de adsorção-dessorção de N2 a 77 K evidenciou que as propriedades texturais variam significativamente com a razão TEOS/Zeólita, sendo o material R 3,0:1 o que apresentou maior volume de poros e estrutura mais ordenada. Conclui-se que a razão TEOS/Zeólita é um parâmetro chave na modulação da estrutura e das propriedades texturais dos compósitos zeólita Beta/SBA-15, podendo ser ajustada conforme o desempenho desejado para aplicações específicas.

Palavras-chave: Compósitos micromesoporosos, Zeólita Beta, SBA-15, Parâmetros de síntese, Propriedades texturais.

ABSTRACT - This study investigates how variations in the TEOS/Zeolite ratio affect the structural and textural properties of the Beta zeolite/SBA-15 composite. Characterization techniques including X-ray diffraction (XRD), scanning electron microscopy with energy-dispersive X-ray spectroscopy (SEM-EDS), and nitrogen physisorption indicate that increasing the TEOS/Zeolite ratio promotes greater mesoporous ordering and more homogeneous morphology in the samples. The analyses show that higher TEOS proportions lead to improved formation of the SBA-15 matrix and a more uniform distribution of Beta zeolite, positively influencing the textural properties of the composites. Thermal analysis suggests that the removal of structure-directing agents was more efficient in samples with higher TEOS/Zeolite ratios, consistent with the enhanced mesostructural organization observed.

Keywords: Micro-mesoporous composites, Beta Zeolite, SBA-15, Synthesis parameters, Textural Properties.

Introdução

A busca por materiais porosos com desempenho otimizado tem impulsionado o desenvolvimento de compósitos que integrem microporosos como a zeólita Beta com mesoporosos como a SBA-15 visando combinar as propriedades desses materiais, ao passo que supera limitações individuais desses materiais (1). Este trabalho investiga como a variação da razão TEOS/Zeólita afeta as propriedades estruturais e texturais do compósito zeólita Beta/SBA-15.

Experimental

Síntese e caracterização dos materiais.

O SBA-15 e a Beta foram obtidos com base nos métodos de Zhao et al. (1998) e Camblor et al. (1997) respectivamente (2, 3). Para o compósito, a Beta foi dispersa em solução de P123, HCl e n-butanol, seguida da adição de TEOS em diferentes razões molares (0,5:1; 2,0:1; 3,0:1), sob aitação a 35°C, seguido de envelhecimento a 105 °C em autoclave. Após filtração, secagem e calcinação a 550 °C, as amostras foram denominadas como R 0,5:1, R 2,0:1 e R

3,0:1 e caracterizadas por DRX, MEV-EDS e fisisorção de N₂ a 77 K.

Resultados e Discussão

Estrutura, Morfologia, Composição e propriedades texturais (DRX, MEV-EDS e Adsorção e Dessorção de N₂)

A figura 1 exibe os difratogramas de raios X de baixo ângulo (a) e a alto ângulo (b) e os dados de MEV-EDS das amostras nas razões R 0,5:1 (c), R 2,0:1 (d) e R 3,0:1 (e).

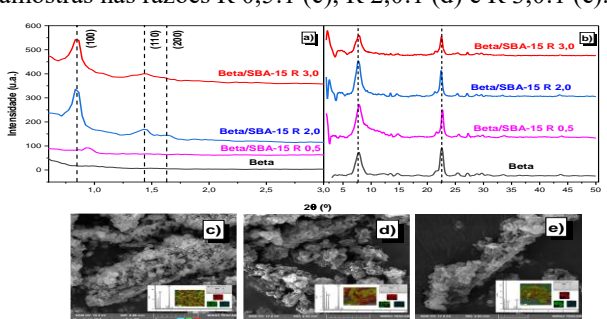


Figura 1. Difratogramas de raios X de baixo ângulo (a) e a alto ângulo (b) e os dados de MEV-EDS das amostras nas razões R 0,5 (c), R 2,0 (d) e R 3,0 (e).



As isotermas de adsorção e dessorção de N_2 a 77 K são apresentadas na Figura 2 (a) para os materiais compósitos e (b) para o SBA-15 e a zeólita Beta,

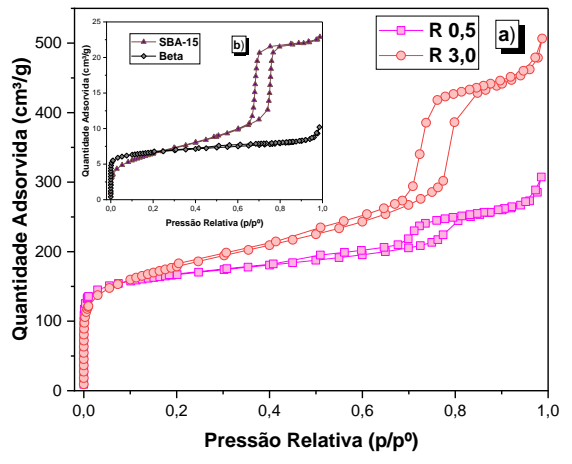


Figura 2. Isotermas de adsorção e dessorção de N₂ a 77 K do SBA-15 e Beta (a) e dos materiais compósito R 0,5:1 e R 3,0:1 (b).

Os resultados das análises estruturais, morfológicas e texturais indicam que o aumento da razão TEOS/Zeólita favorece a organização mesoporosa e a formação de estruturas mais homogêneas nos compósitos. Os difratogramas de baixo ângulo revelaram que as amostras R 2,0:1 e R 3,0:1 preservam a estrutura hexagonal da SBA-15, enquanto R 0,5:1 apresentou perda de ordenação, provavelmente devido ao maior teor de zeólita Beta. Essa tendência foi corroborada pelas imagens de MEV: enquanto R 3,0:1 manteve a morfologia alongada e organizada da SBA-15, R 2,0:1 apresentou agregados moderados e R 0,5:1 revelou aglomeração intensa da fase zeolítica, com possível obstrução da rede mesoporosa. A análise EDS confirmou a presença dos elementos constituintes esperados (Si, O, Al), mas sem permitir inferências sobre sua distribuição espacial. As isotermas de adsorção-dessorção de N2 reforçaram essa correlação: a R 3,0:1 exibiu histerese tipo H1, típica de materiais com poros cilíndricos e bem distribuídos, enquanto a R 0,5:1 apresentou histerese H2(a)/H4, associada a gargantas estreitas e presença significativa de microporos, característica da zeólita. Assim, maiores proporções de TEOS contribuíram para acessibilidade e conectividade da rede mesoporosa, em conformidade com padrões descritos na literatura (6, 7).

-



Conclusões

A razão TEOS/Zeólita influenciou diretamente a estrutura e as propriedades texturais dos compósitos Zeólita Beta/SBA-15. A razão 3:1 apresentou melhor formação da matriz SBA-15 e distribuição mais regular da fase zeolítica, enquanto a razão 0,5:1 resultou em possível encobrimento da estrutura mesoporosa. As análises indicam que a organização mesoestrutural afeta diretamente o comportamento térmico dos materiais. Futuras etapas contemplarão o efeito da temperatura de síntese na integração das fases micro e mesoporosa, visando otimizar a porosidade e a estabilidade estrutural do compósito.

Agradecimentos

Ao CNPQ pelo suporte financeiro. A Universidade do Estado do Rio Grande do Norte-UERN. Ao laboratório de Catálise, Ambiente e Materiais - LACAM, ao LAMOp e ao CSAMA pelas análises realizadas e equipamentos cedidas para realização das sínteses.

Referências

- Vasconcelos AA, Len T, de Oliveira AdN, Costa AAFd, Souza ARdS, Costa CEFd, Luque R, Rocha Filho GNd, Noronha RCR, Nascimento LASd, Applied Sciences. 2023, 13(2):1897.
- Zhao, D.; Huo, Q.; Feng, J.; Chmelka, B. F.; Stucky, G. D. *Journal of the American Chemical Society*, 1998, 120, 6024-6030.
- 3. Camblor, M. A.; Corma, A.; Mifsud, A.; Pérez-Pariente, J.; Valencia, S. *Studies in Surface Science and Catalysis*, **1997**, 105, 341-348.
- 4. Taral, P., Vishal J., Mayani and Suranjana V. M., *ACS Omega* **2023**, 8, 1, 346–356.
- Romeo, HM, José, G. P. S., José, E. A, Torres Torres, J. G., Perez, V. H., Lunagómez, R. M. A., Romero, D. C, Mária, C. B. Superficies y Vacío, 2020, [S. l.], v. 33, p. 200301.
- 6. Thommes, M.; Cychosz, K. A. *Pure & Applied Chemistry* **2014**, 86, 1793-1802.
- 7. Shanqing Yu., Yuqing Liu., Jiasong Yan., Shuangqin Zeng., Xuejing Zhang., Shuo Guo, *Ind. Eng. Chem. Res.* **2025**, 64, 8, 4309–4318.

¹ breda.sango@gmail.com